

(2 + 1) 维非对称 Nizhnik-Novikov-Veselov 系统的新映射解及其局域结构*

马松华[†] 方建平 任清褒

(丽水学院物理系, 丽水 323000)

(2006 年 12 月 14 日收到, 2007 年 5 月 8 日收到修改稿)

映射法是一种非常经典、有效和成熟的求解非线性演化方程的方法, 其最大的特点是可以有多种不同形式的设解, 使得最终求得的解丰富多彩. 利用改进的 Riccati 方程映射法和变量分离法, 得到了 (2 + 1) 维非对称 Nizhnik-Novikov-Veselov 系统的新显式精确解. 根据得到的孤波解, 构造出该系统的峰孤子和分形孤子等局域结构, 研究了两个孤立波的“追碰”现象.

关键词: 改进的映射法, (2 + 1) 维非对称 Nizhnik-Novikov-Veselov 系统, 局域结构, “追碰”现象

PACC: 0230, 0340, 0290

1. 引 言

孤子理论是非线性科学研究的一个重要方面, 它广泛应用于物理学、数学、化学、生物学、气象学等学科, 尤其在物理学中的流体力学、等离子体物理、光学、凝聚态物理等领域发挥着十分重要的作用^[1-3]. 自 Boiti 等^[4]通过 Bäcklund 变换法发现 Daver-Stewartson 系统的 dromion 钟状平面相干孤子后, 人们对 (2 + 1) 维孤子系统产生了极大的兴趣. 近 10 年来, 许多学者对高维非线性物理模型进行了广泛的研究, 提出了许多相干孤子结构, 诸如线孤子、半线孤子、紧致子、环孤子、方孤子、盘孤子、折叠子、泡孤子和峰孤子等^[5-9]. 随着对非线性理论研究的不断深入, 人们总结出了许多求解非线性方程的新方法, 如双线性法^[10-13]、齐次平衡法^[14]、标准的 Painlevé 截断分析法^[15, 16]、波数合并法^[17, 18]、分离变量法^[19]和双曲正切函数法^[20]等. 两年前, 方建平等^[21-25]提出了拓展的 Riccati 方程映射法, 现已在许多 (2 + 1) 维物理模型中得到了应用. 在此基础上, 我们对该方法进行了改进, 即在设解中加入了根号项, 从而使得到的解更加丰富. 本文的工作是将改进的 Riccati 方程映射法运用到 (2 + 1) 维非对称

Nizhnik-Novikov-Veselov (ANNV) 系统

$$u_t + u_{xxx} - 3v_x u - 3v u_x = 0, \quad (1)$$
$$u_x = v_y,$$

并进一步研究其相干孤子结构和分形现象. 方程 (1) 最先由 Boiti 等^[26]导出, 文献 [27] 证明了通过适当的变换 ANNV 系统也可以从著名的 Kadomtsev-Petviashvili 方程得到.

2. (2 + 1) 维 ANNV 系统的新映射解

改进的 Riccati 方程映射法的基本思想如下: 对于给定的一个非线性物理模型

$$P(u, u_t, u_x, u_{x_i}, u_{x_i x_j}, \dots) = 0, \quad (2)$$

将原来的设解

$$u = A(x) + \sum_{i=1}^n B_i(x) \phi^i[\eta(x)]$$

改为

$$u = A(x) + \sum_{i=1}^n B_i(x) \phi^i[\eta(x)] + C_i(x) \phi^{i-1}[\eta(x)] \sqrt{\sigma + \phi^2[\eta(x)]}, \quad (3)$$

即与原来的设解相比增加了根号项, 其中 ϕ 满足

$$\phi' = \sigma + \phi^2. \quad (4)$$

* 浙江省自然科学基金 (批准号: Y604106, Y606128) 和丽水学院科研基金 (批准号: FC06001, QN06009) 资助的课题.

[†] E-mail: msh6209@yahoo.com.cn

这里 $x = (x_0 = t, x_1, x_2, \dots, x_m)$, $A(x)$, $B_i(x)$, $C_i(x)$ 和 $q(x)$ 为 x 的任意函数. 经过这样的改正, 除了可以得到 \tanh , \coth , \tan , \cot 函数形式的解外, 还可以得到 sech , csch , \sec , \csc 等函数形式的解, 使解更加丰富. 将(3)(4)式代入(2)式就可以得到一组 $A(x)$, $B_i(x)$, $C_i(x)$ 和 $q(x)$ 的约束方程. 通过约束方程求得变量 $A(x)$, $B_i(x)$, $C_i(x)$ 和 $q(x)$, 再根据 Riccati 方程如下的孤波解、周期波解和变量分离解就可以确定所求方程的解(这里省略了正切和双曲正切两种函数形式的解):

$$\begin{aligned} \phi &= -\sqrt{-\sigma} \coth(\sqrt{-\sigma} q) \quad (\sigma < 0), \\ \phi &= -\sqrt{\sigma} \co(\sqrt{\sigma} q) \quad (\sigma > 0), \\ \phi &= -\frac{1}{q} \quad (\sigma = 0). \end{aligned} \quad (5)$$

为了寻找 ANNv 系统的新解, 我们将改进的 Riccati 方程映射法用于(1)式, 并根据(3)式, 设解为

$$\begin{aligned} u &= f + g\phi + h\phi^2 + a\sqrt{\sigma + \phi^2} \\ &\quad + b\phi\sqrt{\sigma + \phi^2}, \\ v &= F + G\phi + H\phi^2 + A\sqrt{\sigma + \phi^2} \\ &\quad + B\phi\sqrt{\sigma + \phi^2}. \end{aligned} \quad (6)$$

这里 $f, g, h, a, b, F, G, H, A, B$ 和 q 是 (x, y, t) 的任意函数. 将(6)(4)式代入(1)式, 并按 ϕ 的同次幂合并, 提取 $\phi^i (i = 1, 2, \dots)$ 前的系数, 其中包含 $\sqrt{\sigma + \phi^2}$ 项, 设

$$K = \sqrt{\sigma + \phi^2},$$

提取 K , 令 K 前的系数等于零, 令不含 K 的系数的代数和也等于零, 得到一系列方程. 由这些方程可求得

$$\begin{aligned} f &= 2\sigma \frac{q_{xx}q_y - q_xq_{xy}}{q_xq_y}, \\ g &= -\frac{3q_xq_{xy} + q_{xx}q_y}{q_x}, \\ h &= q_xq_y, \\ a &= \frac{8q_{xx}q_y + 3q_xq_{xy}}{q_x}, \\ b &= -q_xq_y, \\ F &= -\frac{q_{xx}^2q_y^2 + q_x^2q_{xy}^2 + q_xq_yq_{xx}q_{xy} - q_x^4q_y^2 + q_x^3q_y\sigma - q_xq_yq_t}{q_x^2q_y^2}, \\ G &= \frac{3q_xq_{xy} + q_{xx}q_y}{q_y}, \\ H &= q_x^2, \end{aligned}$$

$$\begin{aligned} A &= -\frac{3q_xq_{xy} + 8q_{xx}q_y}{q_y}, \\ B &= -q_x^2. \end{aligned} \quad (7)$$

从所得到的方程中, 发现有如下变量分离形式的特解:

$$q = \chi(x, t) + \varphi(y), \quad (8)$$

其中 $\chi = \chi(x, t)$, $\varphi = \varphi(y)$ 是关于 x, t 和 y 的任意函数.

情形 1 设 $\sigma = -1$, 可以得到 ANNv 系统的孤波解

$$\begin{aligned} u_1 &= \chi_x\varphi_y(\operatorname{csch}(\chi + \varphi)^2 \\ &\quad + \operatorname{csch}(\chi + \varphi)\coth(\chi + \varphi)), \end{aligned} \quad (9)$$

$$\begin{aligned} v_1 &= \frac{1}{3} \frac{\chi_{xxx} + \chi_x^3 + \chi_t}{\chi_x} - \chi_{xx}(\coth(\chi + \varphi) \\ &\quad + \operatorname{csch}(\chi + \varphi)) + \chi_x^2(\operatorname{csch}(\chi + \varphi)^2 \\ &\quad + \operatorname{csch}(\chi + \varphi)\coth(\chi + \varphi)), \end{aligned} \quad (10)$$

其中 $\chi(x, t)$, $\varphi(y)$ 为所示变量的任意函数.

情形 2 设 $\sigma = 1$, 可以得到 ANNv 系统的周期波解

$$\begin{aligned} u_2 &= \chi_x\varphi_y(\operatorname{cs}(\chi + \varphi)^2 \\ &\quad + \operatorname{cs}(\chi + \varphi)\operatorname{co}(\chi + \varphi)), \end{aligned} \quad (11)$$

$$\begin{aligned} v_2 &= \frac{1}{3} \frac{\chi_{xxx} - \chi_x^3 + \chi_t}{\chi_x} - \chi_{xx}(\operatorname{co}(\chi + \varphi) \\ &\quad + \operatorname{cs}(\chi + \varphi)) + \chi_x^2(\operatorname{cs}(\chi + \varphi)^2 \\ &\quad + \operatorname{cs}(\chi + \varphi)\operatorname{co}(\chi + \varphi)), \end{aligned} \quad (12)$$

其中 $\chi(x, t)$, $\varphi(y)$ 为所示变量的任意函数.

情形 3 设 $\sigma = 0$, 可以得到 ANNv 系统的变量分离解

$$u_3 = 2 \frac{\chi_x\varphi_y}{(\chi + \varphi)^2}, \quad (13)$$

$$v_3 = \frac{1}{3} \frac{\chi_{xxx} + \chi_t}{\chi_x} - \frac{\chi_{xx}}{\chi + \varphi} + \frac{2\chi_x^2}{(\chi + \varphi)^2}, \quad (14)$$

其中 $\chi(x, t)$, $\varphi(y)$ 为所示变量的任意函数.

3. (2+1)维 ANNv 系统的特殊孤子结构

由于(9)–(14)式中都包含有任意函数 χ 和 φ , 使得系统的解变得相当丰富. 本文仅以(9)式为例, 讨论 ANNv 系统的峰孤子和分形孤子结构. 为方便起见, 令

$$U = u_1 = \chi_x \varphi_3 (\operatorname{csch}(\chi + \varphi)^2 + \operatorname{csch}(\chi + \varphi) \coth(\chi + \varphi)). \quad (15)$$

3.1. ANNV 系统的峰孤子结构

由于(15)式中 χ 和 φ 的任意性,不妨取 χ 和 φ 为如下形式:

$$\chi = 1 + 2 \ln \left[\tanh \left(- \left| \frac{1}{2} x - ct - \frac{1}{2} \right| \right) \right], \quad (16)$$

$$\varphi = 1 + \exp \left(- \left| \frac{1}{2} y - \frac{1}{2} \right| \right);$$

$$\chi = 1 + 1.8 \ln \left[\tanh \left(- \left| \frac{1}{2} x - ct - \frac{1}{2} \right| \right) \right] + 0.4 \ln \left[\tanh \left(- \left| \frac{1}{2} x - ct + \frac{1}{2} \right| \right) \right], \quad (17)$$

$$\varphi = 1 + 0.8 \exp \left(- \left| \frac{1}{2} y - \frac{1}{2} \right| \right).$$

于是,可以得到一个单峰孤子结构和一个多峰孤子结构,如图1所示(取 $c=1, t=-2$).

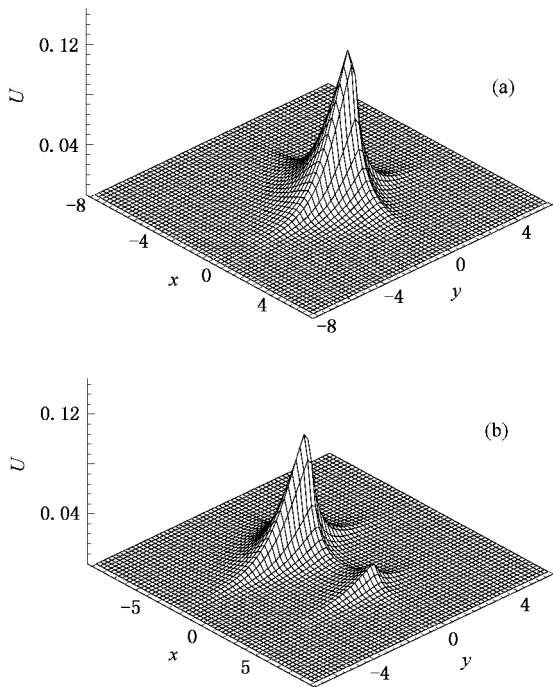


图1 ANNV 系统的峰孤子解 (a) (15)式利用(16)式得到的单峰孤子 (b) (15)式利用(17)式得到的多峰孤子

此外,如果取 χ 和 φ 为如下形式:

$$\chi = 1 + \exp(-|x - ct - 2|), \quad (18)$$

$$\varphi = 1 + \exp(y);$$

$$\chi = 1 + \tanh(-|x - ct - 1|), \quad (19)$$

$$\varphi = 1 + \operatorname{sech}(y),$$

则得到另外形状的单峰孤子和亮暗峰孤子结构,如图2所示(取 $c=1, t=0$).

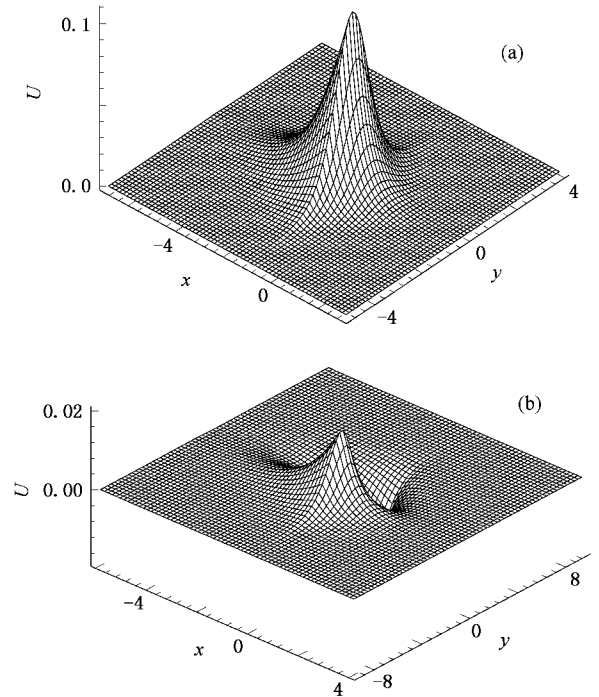


图2 ANNV 系统的另一种形状的峰孤子解 (a) (15)式利用(18)式得到单峰孤子 (b) (15)式利用(19)式得到的亮暗峰孤子

3.2. 孤立波的“追碰”现象

以上得到了 ANNV 系统几种不同类型的峰孤子解,下面将讨论两个孤立波随时间的演化情形.在以往所报道的孤立波的相互作用都是两个孤立波相向运动,然后发生作用^[24, 28-31],其作用大多是弹性的,即作用以后两个孤立波的波幅、形状和波速保持不变^[24].但是研究中发现也存在非弹性相互作用现象,即两个孤立波作用后变成一个或者其波幅减小的现象^[28, 29].我们讨论两个孤立波同向运动发生“追碰”的有趣现象.

在(15)式中,取 χ 和 φ 为如下形式:

$$\chi = 1 + 1.2 \ln \left[\tanh(-|x - 2t - 1|) \right] + 0.5 \ln \left[\tanh(-|x - t - 1|) \right], \quad (20)$$

$$\varphi = 1 + \ln \left[\tanh(-|y - 1|) \right].$$

于是,得到如图3所示的两个孤立波的“追碰”时间演化图.时间分别为 $t = -12, -8, 0, 3, 8$.从图3可以看到,两个孤立波朝同一个方向运动,由于运动速度不同,经过一定时间,后面的孤立波赶上前面的孤

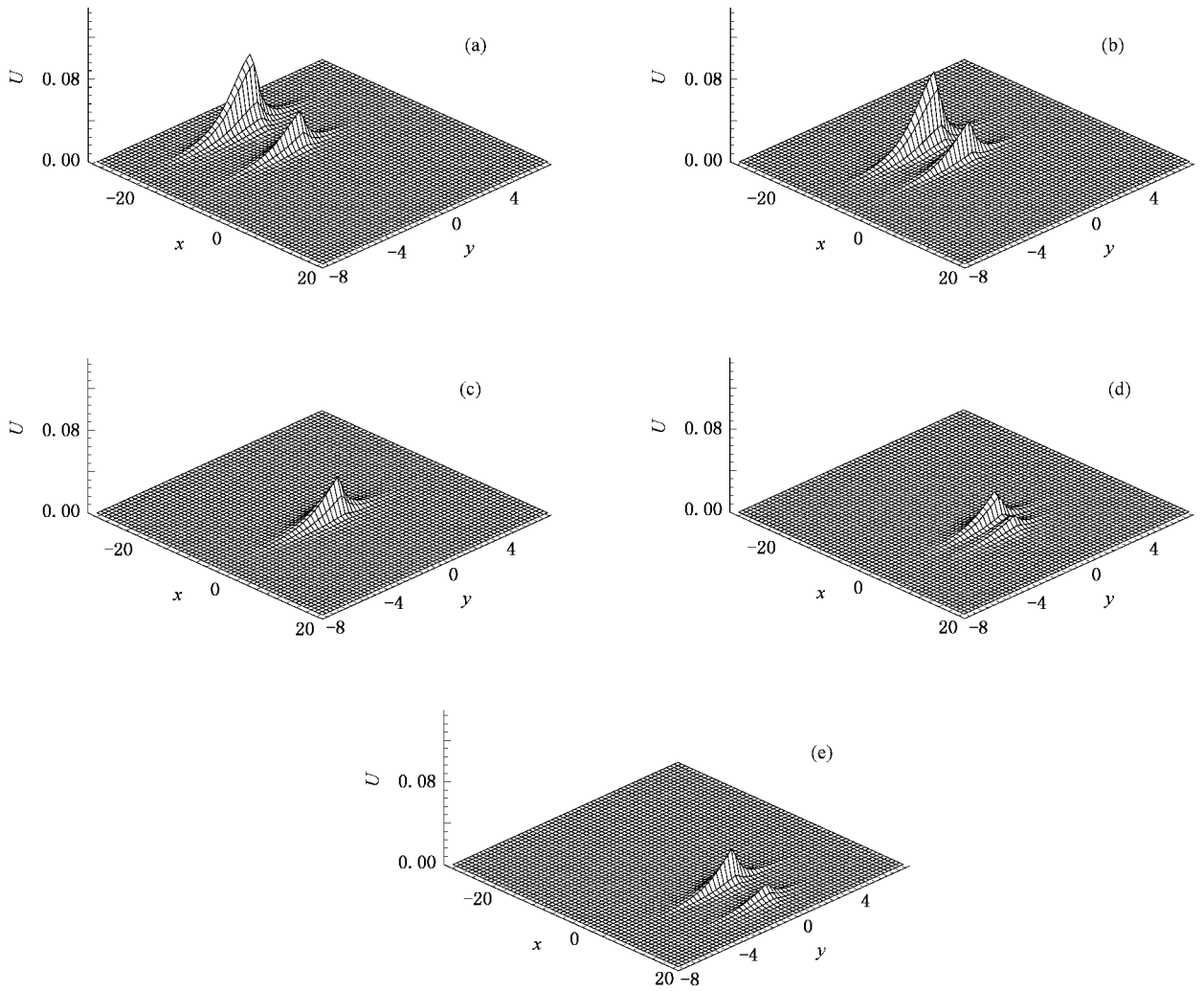


图3 (15)式利用(20)式得到的两个孤立波的“追碰”时间演化图 (a) $t = -12$, (b) $t = -8$, (c) $t = 0$, (d) $t = 3$, (e) $t = 8$

立波并发生相互作用. 作用后两个孤立波的峰值和形状都变小了, 类似于非弹性作用. 通过进一步的研究发现, 两个孤立波脱开以后继续朝着原方向运动, 但是它们之间的距离越离越远, 其原因是前者的速度大于后者的速度.

4. (2+1)维 ANNV 系统的分形结构

分形是自然界存在的一种普遍现象, 大到星系、海岸线, 小到细菌群落的生长、植物的生长及视网膜上血管的分布等, 其共同特点是局部与整体具有相似性, 或者在标度变换下具有相似性的几何形状. 对分形的研究有利于促进对自然的理解, 分形是非线性科学研究的一个重要方面. 下面我们来研究 ANNV 系统的分形行为.

4.1. 规则分形结构

在(15)式中, 取 χ, φ 为如下形式:

$$\begin{aligned} \chi &= 1 + \exp[-(x - ct)(x - ct) \\ &\quad + 2\text{sn}(\ln x^2, 0.6))], \\ \varphi &= 1 + \exp[-\gamma(y + 2\text{sn}(\ln y^2, 0.6))], \end{aligned} \quad (21)$$

其中 sn 是 Jacobian 椭圆正弦函数. 图 4(a) 给出了系统的局域规则分形结构(取 $c = 1, t = 0$); 图 4(b) 表示 x, y 在区间 $x \in [-0.002, 0.002], y \in [-0.002, 0.002]$ 中分形结构的密度分布. 为了更加细致地观察其自相似结构, 将 x, y 的范围取得更小, 例如取 $x \in [-0.00002, 0.00002], y \in [-0.00002, 0.00002]$, 发现了与图 4(b) 相同的密度斑图, 如图 4(c) 所示. 实际上, x, y 的范围一直往下取时, 也有相同的结构.

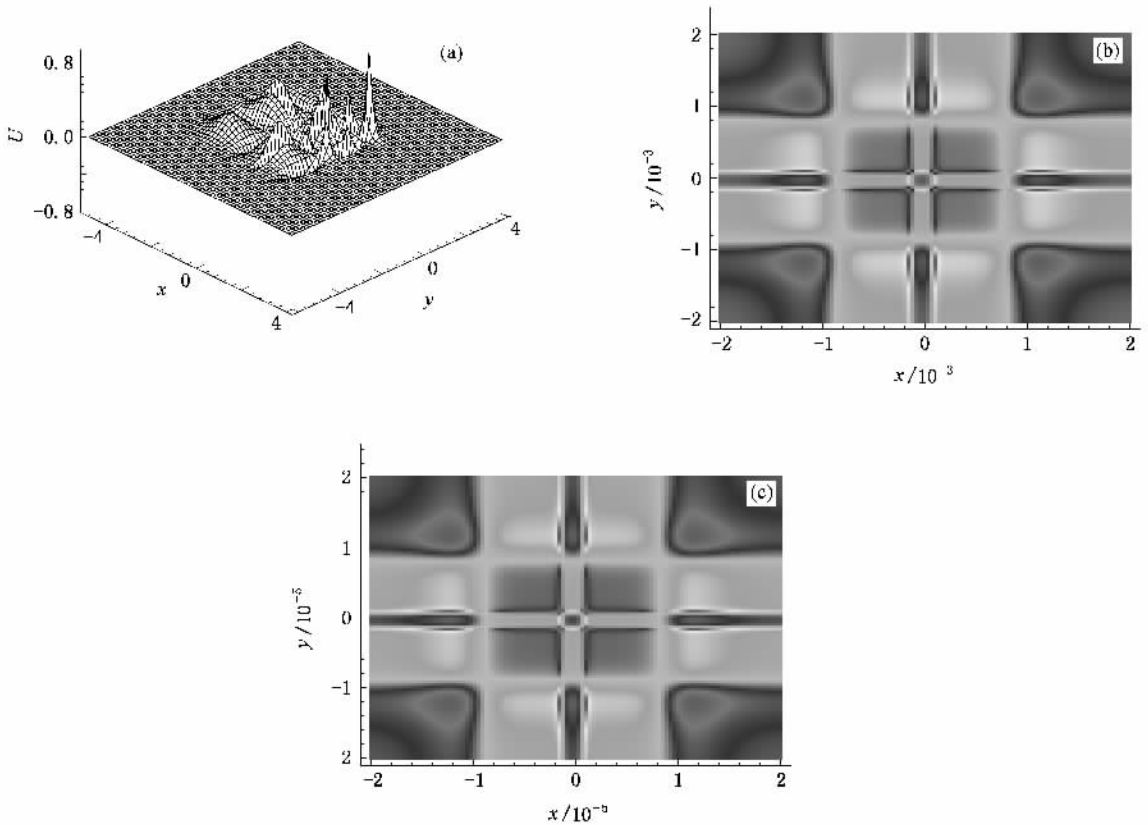


图4 局域规则分形结构和密度斑图 (a)式(15)利用(21)式得到的局域规则分形结构;(b)对应(a)图取 x, y 的范围为 $x \in [-0.002, 0.002], y \in [-0.002, 0.002]$ 时的密度斑图;(c)对应(a)图取 x, y 的范围为 $x \in [-0.00002, 0.00002], y \in [-0.00002, 0.00002]$ 时的密度斑图

4.2. 随机分形结构

如果取任意函数为如下形式:

$$\begin{aligned} \chi &= 1 + 2\exp(-(x + t)(x + t + \mathfrak{R})), \\ \varphi &= 1 + 2\exp(-y(y + \Theta)), \end{aligned} \quad (22)$$

其中

$$\mathfrak{R} = \sum_{i=0}^k (1.5^{0.5k} \sin(1.5^k x)),$$

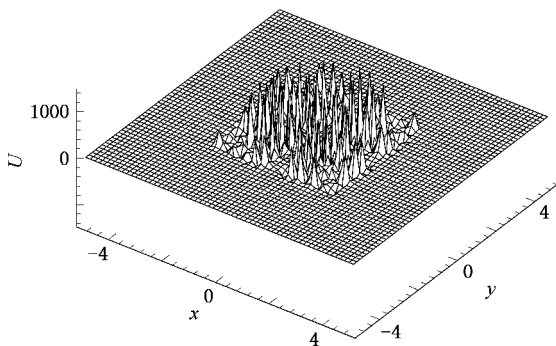


图5 (15)式利用(22)(23)式得到的局域随机分形结构

$$\Theta = \sum_{i=0}^k (1.5^{0.5k} \sin(1.5^k y)), \quad (23)$$

则得到系统的随机分形结构.图5显示的是当 $k = 30$ 时的随机 dromion 分形.从图5可以看到,dromion 孤子的波峰、形状随时间 t 随机地变化.

5. 结 论

本文利用改进的 Riccati 方程映射法和变量分离法,得到了(2+1)维 ANNV 系统的孤波解、周期波解和变量分离解,并根据孤波解 u_1 利用分段函数得到了系统不同类型的峰孤子解.接着,利用 Jacobi椭圆正弦函数研究了系统的自相似局域规则分形结构,进一步研究了系统的局域随机分形结构.本文还讨论了两个孤立波“追碰”的有趣现象,即两个孤立波运动方向相同,但是速度大小不同,一个孤立波追上另一个孤立波,然后发生作用,由于速度不同,作用之后两个孤立波越来越远.

映射法对求解非线性演化方程是一种非常有效的方法,已经得到了广泛的应用.这里我们进一步拓展了它的应用,这种方法对其他高维非线性物理模

型的推广值得深入研究.

感谢郑春龙教授对本文工作的指导.

- [1] Camassa R , Holm D D 1993 *Phys. Rev. Lett.* **71** 1661
 [2] Tang X Y , Lou S Y , Zhang Y 2002 *Phys. Rev. E* **66** 046601
 [3] Lou S Y 1998 *Phys. Rev. Lett.* **80** 5027
 [4] Boiti M , Leon J J P , Manna M , Pempinelli F 1988 *Phys. Lett. A* **132** 432
 [5] Zheng C L , Zhu J M , Zhang J F 2003 *Commun. Theor. Phys.* **39** 261
 [6] Zheng C L , Zhang J F 2002 *Chin. Phys. Lett.* **19** 1399
 [7] Zheng C L 2003 *Commun. Theor. Phys.* **40** 25
 [8] Zhang J F , Zheng C L , Fang J P 2003 *Chin. Phys. Lett.* **20** 448
 [9] Zhu J M , Ma Z Y , Zheng C L 2004 *Acta Phys. Sin.* **53** 3248 (in Chinese) [朱加民、马正义、郑春龙 2004 物理学报 **53** 3248]
 [10] Hietarinta J 1990 *Phys. Lett. A* **149** 113
 [11] Radha R , Lakshmanan M 1991 *Phys. Lett. A* **197** 7
 [12] Lou S Y 1995 *J. Phys. A : Math. Gen.* **28** 7227
 [13] Ruan H Y , Lou S Y 1997 *J. Math. Phys.* **38** 3123
 [14] Zhang J F , Meng J P 2004 *Commun. Theor. Phys.* **41** 655
 [15] Lou S Y 1996 *Commun. Theor. Phys.* **26** 487
 [16] Lou S Y , Tang X Y , Li J 2001 *Eur. Phys. J. B* **22** 473
 [17] Lai D W C , Chow K W 1999 *J. Phys. Soc. Jpn.* **65** 1847
 [18] Lai D W C , Chow K W 2001 *J. Phys. Soc. Jpn.* **70** 666
 [19] Zhang J F , Huang W H , Zheng C L 2002 *Acta Phys. Sin.* **51** 2676 (in Chinese) [张解放、黄文华、郑春龙 2002 物理学报 **51** 2676]
 [20] Zhu J M , Ma Z Y , Zheng C L 2004 *Acta Phys. Sin.* **54** 483 (in Chinese) [朱加民、马正义、郑春龙 2004 物理学报 **54** 483]
 [21] Fang J P , Zheng C L , Chen L Q 2004 *Commun. Theor. Phys.* **42** 175
 [22] Fang J P , Zheng C L 2005 *Chin. Phys.* **14** 670
 [23] Fang J P , Zheng C L , Zhu J M 2005 *Acta Phys. Sin.* **54** 2990 (in Chinese) [方建平、郑春龙、朱加民 2005 物理学报 **54** 2990]
 [24] Ma S H , Fang J P 2006 *Acta Phys. Sin.* **55** 5611 (in Chinese) [马松华、方建平 2006 物理学报 **55** 5611]
 [25] Ma S H , Wu X H , Fang J P , Zheng C L 2006 *Z. Naturforsch. A* **61** 249
 [26] Boiti M , Leon J J P , Manan M , Penpinelli F 1986 *Inver. Prob.* **2** 271
 [27] Hietarinta J 1990 *Phys. Lett. A* **149** 133
 [28] Ma S H , Qiang J Y , Fang J P 2007 *Acta Phys. Sin.* **56** 620 (in Chinese) [马松华、强继业、方建平 2007 物理学报 **56** 620]
 [29] Wang S , Tang X Y , Lou S Y 2004 *Chaos Solitons Fract.* **19** 769
 [30] Zheng C L , Zhang J F 2003 *Chin. Phys.* **12** 0011
 [31] Zheng C L , Zhang J F 2002 *Acta Phys. Sin.* **51** 2426 (in Chinese) [郑春龙、张解放 2002 物理学报 **51** 2426]

New mapping solutions and localized structures for the $(2 + 1)$ -dimensional asymmetric Nizhnik-Novikov-Veselov system ^{*}

Ma Song-Hua[†] Fang Jian-Ping Ren Qing-Bao

(*Department of Physics , Lishui University , Lishui 323000 , China*)

(Received 14 December 2006 ; revised manuscript received 8 May 2007)

Abstract

The mapping approach is a kind of classic , efficient and well-developed method to solve nonlinear evolution equations . Its remarkable characteristic is that we can have infinitely different ansatzs and thus end up with the abundance of solutions . By an improved mapping approach and a variable separation method , a series of excitations of the $(2 + 1)$ -dimensional asymmetric Nizhnik-Novikov-Veselov system is derived . Based on the derived solitary wave excitation , we obtain some special localized structures such as peakon solitons and fractal solitons , then we discuss the phenomenon of “ chase and collision ” .

Keywords : improved mapping approach , $(2 + 1)$ -dimensional asymmetric Nizhnik-Novikov-Veselov system , localized structures , “ chase and collision ” phenomenon

PACC : 0230 , 0340 , 0290

^{*} Project supported by the Natural Science Foundation of Zhejiang Province , China (Grant Nos. Y604106 , Y606128) and the Scientific Research Foundation of Lishui University , China (Grant Nos. FC06001 , QN06009).

[†] E-mail : msh6209@yahoo.com.cn